

## تعیین مقاومت فشاری تکمحوری سنگ‌آهک میکرایتی با استفاده از آزمایش بارگذاری بر خردده‌رات مجزا

\*اکبر چشمی، ابراهیم احمدی ششده: دانشگاه تهران، دانشکده علوم

تاریخ: دریافت ۹۱/۲/۲۷ پذیرش ۹۱/۸/۱۴

### چکیده

تعیین مقاومت تکمحوره محصور نشده (UCS) به عنوان یکی از پارامترهای مکانیکی برای ارزیابی مقاومت سنگ در بسیاری از پروژه‌های مهندسی لازم است. در برخی از پروژه‌های مهندسی نظری حفر چاه برای استخراج مواد هیدرولوکریوئی به دلیل عمق زیاد حفاری، محدودیت‌هایی برای اخذ نمونه مناسب برای تعیین مقاومت فشاری تکمحوری وجود دارد. از طرفی تعیین این پارامتر به منظور آنالیز پایداری جدار چاه و برنامه‌های توسعه چاه لازم و ضروری است. بدین‌منظور ایده استفاده از خرددهای حفاری برای تعیین این پارامتر مطرح شده است. در این مقاله به منظور توسعه روابط تجربی بین مقاومت فشاری تکمحوری سنگ و مقاومت خردده رات، تعداد ۷ نمونه سنگ آهک میکرایتی از رخ‌نمونه‌های سازند آسماری تهیه شده و پس از انجام آزمایش فشاری تکمحوری و تعیین مقادیر UCS آنها، نمونه‌های مذکور خرد شد و ۴۲۰ نمونه به عنوان خرددهای حفاری آماده‌سازی شده است. با استفاده از دستگاه بارگذاری بر خردده رات مجزا، مقاومت فشاری تکذره (SCS) خرددهای حفاری تعیین شده است. با توجه به تأثیر شکل خرددها بر مقاومت آنها، همه خرددهای بررسی شده به شکل کروی در آمد است و به منظور بررسی اثر اندازه خرده بر مقاومت آنها پژوهش بر روی خرددها، با قطرهای ۲، ۳ و ۴ میلی‌متر انجام شده است. با تعریف متغیرهای مقاومت و اندازه، نمودارهایی برای تعیین مقاومت خردده رات پسنهاد شده که در آنها اثر اندازه دانه در آزمایش بارگذاری بر ذرات مجزا حذف شده است. ضریب همبستگی بین UCS و SCS در حالت‌های مختلف بیشتر از ۰/۹۱ نشان‌دهنده همبستگی قابل قبول این دو پارامتر با هم است.

واژه‌های کلیدی: مقاومت تکمحوره محصور نشده، خرده حفاری، سنگ آهک میکرایتی، سازند آسماری، آزمایش بارگذاری بر خردده رات مجزا.

<sup>\*</sup>نویسنده مسئول a.cheshomi@ut.ac.ir

## مقدمه

در صورت عدم دسترسی به مغزه حفاری و یا بلوک سنگی، تعیین پارامترهای مقاومتی سنگ با استفاده از خرده‌های حفاری می‌تواند به عنوان یک روش غیرمستقیم جای‌گزین در تعیین پارامترهای مقاومتی سنگ در نظر گرفته شود. مقاومت فشاری تکمحوره محصور نشده (UCS) به عنوان یکی از پارامترهای مکانیکی سنگ برای ارزیابی مقاومت جداره چاه نفت در زمان حفاری از اهمیت ویژه‌ای برخوردار است. در حین عملیات حفاری مقاومت فشاری تکمحوره محصور نشده از سایر عوامل تأثیرگذار بر مقاومت جداره چاه همانند جهت، شیب، مدت زمان حفاری و وزن گل حفاری تأثیرگذارتر است [۲]. از سوی دیگر، در سال‌های اخیر استفاده از خرده‌های حفاری برای ارزیابی مقاومت سنگ‌های حفاری شده، هم‌زمان با عملیات حفاری و تعیین پارامترهای مقاومتی مصالح حفاری شده، برای ارزیابی عمل کرد و تعیین جنس سرمته حفاری مورد توجه زیادی قرار گرفته است. از این رو ابداع و به کارگیری روش‌های جدید آزمایشگاهی با ویژگی‌هایی از جمله قابلیت ارزیابی پارامترهای مقاومتی مصالح حفاری شده با استفاده از خرده‌های حفاری و هم‌زمان با عملیات حفاری، سادگی آزمایش‌ها و در عین حال سرعت زیاد آماده‌سازی نمونه‌ها و نتایج قابل قبول و نزدیک به واقعیت، در این زمینه ضروری است. پژوهش بر گسیختگی خرده ذرات مجزا، اساس بسیاری از تحقیقات در زمینه علم مواد را که از سال ۱۹۶۰ در ایالات متحده [۷]-[۴]، آلمان [۱۰]-[۸] و ژاپن [۱۱]-[۱۴] شروع شد پایه‌ریزی کرده است. آزمایش بارگذاری بر خرده ذرات مجزا به منظور بررسی پدیده شکست [۱۰]-[۷]، انرژی به کار گرفته شده به منظور گسیختگی ذرات و ارزیابی انواع مختلف شکست [۸]، [۱۰]، [۱۵]، [۱۶]، [۱۷]، بررسی تأثیر پارامترهایی از جمله اندازه، شکل، خصوصیات فیزیکی مواد و نحوه اعمال بار بر ویژگی‌های شکست در خرده ذرات [۱۴]، [۱۸]، روابط کاهش اندازه-انرژی [۶]، [۸]، [۱۹]، [۲۰]، ویژگی‌های شکست در مواد برای مدل‌سازی فرایند گسیختگی در آن‌ها [۲۰]-[۲۳] و پاسخ تغییر شکل مواد تحت تنش اعمالی [۲۴] استفاده شده است. یافته‌های بسیاری در مورد مکانیسم شکست ذرات با بررسی شکست خرده ذرات مجزا حاصل شده است و در تحقیقات انجام شده در مورد مدل‌های تئوریک

بنیادی تعریف شده، اجماع نظر وجود دارد. برای انجام چنین آزمایش‌هایی طراحی سیستم اعمال بار با خصوصیاتی از جمله بارگذاری یکنواخت و قابلیت کنترل بار اعمال شده در مدت زمان مورد نظر ضروری است. میزان بارگذاری در چنین دستگاه‌های آزمایشگاهی به‌ نحوی است که نمونه در یک بازه زمانی مناسب به مقاومت حدی خود برسد به‌ نحوی که نمودار نیرو- جابه‌جایی مربوط، به روشنی رفتار نمونه آزمایش شده را تا لحظه شکست و بعد از آن را نمایش دهد.

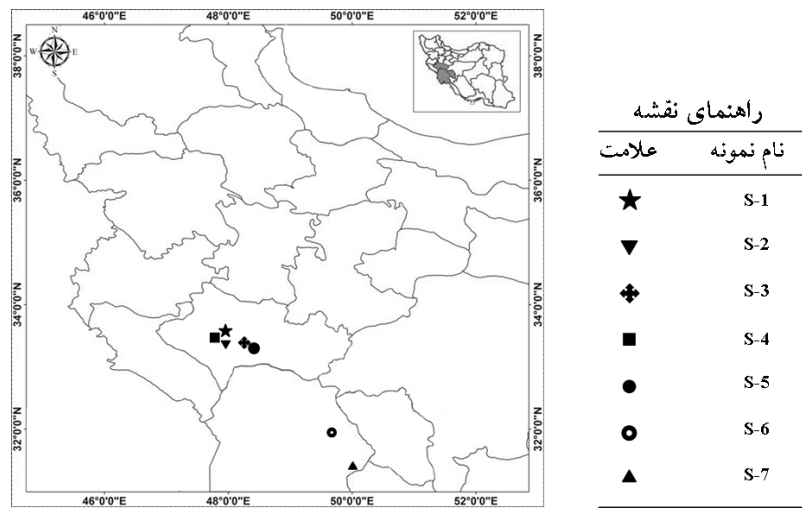
به‌منظور ارزیابی مقاومت خرد ذرات در این مقاله، آزمایش بارگذاری استاتیک بر خرد ذرات مجزا به‌کار گرفته شده است. مقاومت ۴۲۰ خرد ذرات سنگ به‌عنوان خرد ذرات های حفاری مربوط به هفت نمونه از رخ‌نمونه‌های آهک میکرایتی سازند آسماری با استفاده از آزمایش بارگذاری بر خرد ذرات مجاز انتخاب شده است. برای بررسی اثر اندازه خرد ذرات بر نتایج و روابط به‌دست آمده، مقاومت خرد ذرات در اندازه‌های ۲، ۳ و ۴ میلی‌متری با هم مقایسه شده است. نتایج به‌دست آمده از آزمایش بارگذاری برخرد ذرات مجزا با آزمایش بارگذاری فشاری تک محوری مقایسه و روابط همبستگی مربوط، ارائه شده است.

### تهیه و آماده‌سازی نمونه‌های آزمایشگاهی

تعداد هفت نمونه سنگ آهک میکرایتی از رخ‌نمونه‌های سازند آسماری انتخاب شده و به صورت بلوک‌های سنگی در ابعاد تقریبی ۲۰ در ۲۰ در ۴۰ سانتی‌متر، برای آماده‌سازی به محل آزمایشگاه انتقال داده شده است. محل نمونه‌های انتخاب شده در شکل ۱ نشان داده شده است.

مغزه‌های سنگی مطابق استاندارد ASTM D4543 آماده‌سازی شده است [۳]. از میان مغزه‌های تهیه شده نمونه‌هایی که دارای شکستگی‌های جزئی بودند حذف و تنها نمونه‌های کاملاً بکر به‌منظور انجام آزمایش فشاری تک محوری انتخاب شدند. حداقل تعداد نمونه‌های آهکی مورد نیاز برای انجام یک آزمایش علمی معتبر بر اساس روابط کاهش نمونه‌ها [۲۵]، در آزمایش بارگذاری بر خرد ذرات مجزا، ۱۷ عدد تخمین زده شده است [۱]. بنا بر این از هر نمونه

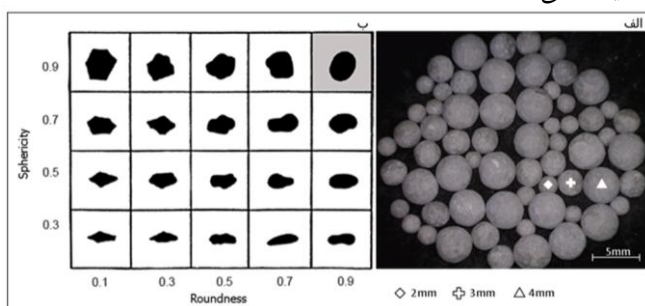
سنگ آهک میکرایتی ۲۰ عدد نمونه اصلاح شده در اندازه‌های ۲، ۳ و ۴ میلی‌متری تهیه شدند تا علاوه بر بررسی همبستگی شاخص فشاری تکمحوری و آزمایش بارگذاری بر خرد ذرات مجزا، اثر اندازه خرد ذرات نیز بررسی شود.



شکل ۱. محل برداشت نمونه‌های انتخابی از رخ‌نمونه‌های سازند آسماری. نمونه‌های S-1 و S-4 از معدن گل پنبه خرم‌آباد، S-3 و S-5 از روستای مشگر خرم‌آباد، S-6 از سد ابوالعباس و S-7 از سد صیدون تهیه شده‌اند.

عواملی مانند گوشهداری و عدم مشابهت هندسه ذرات آزمایشی و در نتیجه، عدم مشابهت مکانیسم توزیع تنفس القایی مربوط به بار اعمالی در خرد ذرات مجزا، باعث پراکندگی نتایج به دست آمده از آزمایش بارگذاری بر خرد ذرات مجزا می‌شوند [۱]. بنا بر این بهمنظور حذف اثر پارامتر شکل دانه، نمونه‌های مربوطه به گونه‌ای اصلاح شدند که دارای حداقل کرویت و گردشگی باشند. در این صورت همشکلی خرد ذرات آزمایشی از طرفی باعث تشابه شرایط القای تنفس، و از طرف دیگر باعث افزایش تکرارپذیری نتایج به دست آمده خواهد شد. در شکل ۲-الف تعدادی از نمونه‌های اصلاح شده که در این تحقیق آزمایش شده‌اند نشان داده شده است و در شکل ۲-ب نمودار کرومباين و اسلامس [۲۶] که الگویی برای کمی کردن متغیرهای شکل دانه است، ارائه شده است. خرد ذرات آزمایش شده در بخش نشان داده شده

در شکل ۲-ب قرار می‌گیرند و دارای حداکثر کرویت و گردشگی هستند. مشخصات مربوط به نمونه‌های آزمایشگاهی آماده شده در جدول ۱ ارائه شده است.



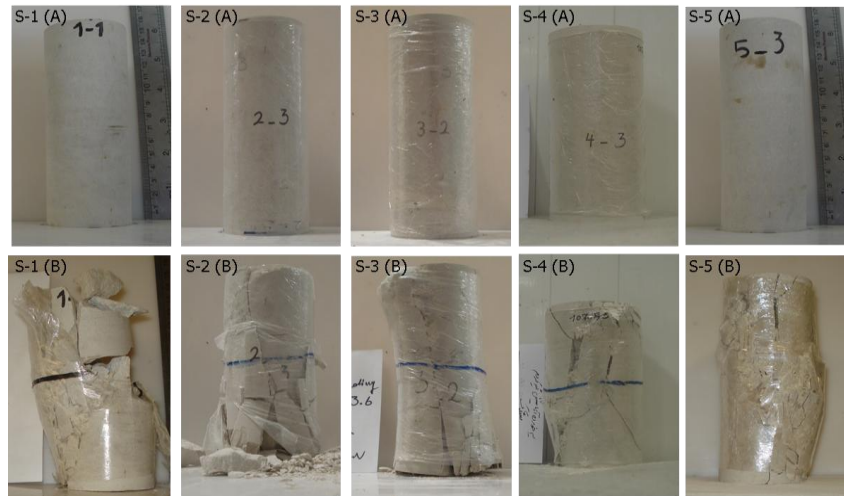
شکل ۲. الف) نمونه‌ای از خردذرات اصلاح شده در اندازه‌های ۲، ۳ و ۴ میلی‌متری، ب) مقایسه پارامترهای شکل نمونه‌های اصلاح شده با نمودار کرومباين و اسلاس

جدول ۱. مشخصات نمونه‌های آزمایشگاهی

	قطر خردذره (mm)	جرم واحد حجم (kN/m <sup>3</sup> )	شکاف، نمونه	جنس، نمونه	شماره نمونه
S - 1	۲۶۰۰		۴، ۳، ۲	آهک میکرایتی	کروی
S - 2	۲۷۲۰		۴، ۳، ۲	آهک میکرایتی	کروی
S - 3	۲۶۱۰		۴، ۳، ۲	آهک میکرایتی	کروی
S - 4	۲۶۳۰		۴، ۳، ۲	آهک میکرایتی	کروی
S - 5	۲۶۴۰		۴، ۳، ۲	آهک میکرایتی	کروی
S - 6	۲۵۰۰		۴، ۳، ۲	آهک میکرایتی	کروی
S - 7	۲۴۸۰		۴، ۳، ۲	آهک میکرایتی	کروی

### آزمایش فشاری تکمحوری

آزمایش‌های بارگذاری فشاری تکمحوری مطابق استاندارد ASTM D2938 [۳]، انجام شده و از نمونه‌های آزمایشی قبل و بعد از آزمایش تصویربرداری شده است. در شکل ۳ تعدادی از مغزه‌ها قبل و بعد از آزمایش فشاری تکمحوری نشان داده شده است.



شکل ۳. مقزه‌های سنگی قبل و بعد از آزمایش فشاری تکمحوری

نتایج مربوط به آزمایش بارگذاری فشاری تکمحوری در جدول ۲ و نمودار تغییرات مقاومت مربوط به نمونه‌های آزمایش شده، در شکل ۴ نشان داده شده است. با توجه به جدول ۲ بیشترین و کمترین مقادیر UCS به ترتیب مربوط به نمونه‌های ۱ و ۷ با  $272/8$  و  $35/30$  مگاپاسکال هستند.

جدول ۲. مقادیر میانگین UCS به دست آمده مربوط به نمونه‌های آزمایش شده

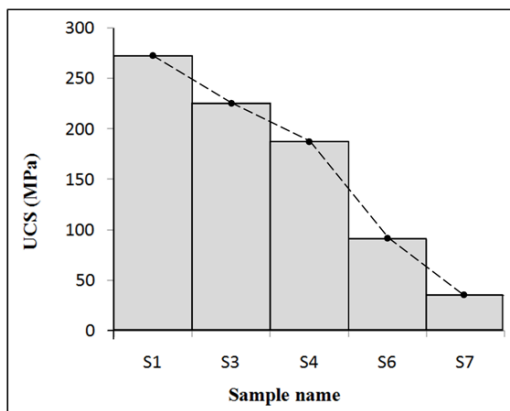
شماره نمونه	S - 1	S - 2	S - 3	S - 4	S - 5	S - 6	S - 7
UCS (MPa)	$272/80$	$262/90$	$225/13$	$228$	$90/60$	$35$	

طیف مقاومتی نمونه‌های آزمایش شده بر اساس تعاریف موجود [۲۹]، [۲۸] از بسیار مقاوم تا کم مقاوم متغیر بوده و نتایج به دست آمده از آزمایش از توزیع مورد نظر بر خوردار هستند.

### آزمایش بارگذاری بر خرده ذرات مجزا

از روش‌های مختلفی به منظور ارزیابی پارامترهای مقاومتی خرده ذرات مجزا استفاده می‌شود. در برخی از این روش‌ها ذرات مجزا با شتابی خاص به سطحی سخت برخورد می‌کنند. میزان نیروی جنبشی به کار گرفته شده به منظور خردایش ذرات در این آزمایش‌ها

به عنوان انرژی شکست در نظر گرفته می‌شود. به این دسته از آزمایش‌های برخوردی پرسرعت گفته می‌شود [۲۹]، [۱۵]. آزمایش‌های سقوط وزنه و چکش‌های پاندولی نیز برای ارزیابی پارامترهای مقاومتی خرد ذرات مجزا استفاده می‌شود [۲۲]، [۲۱]. در این آزمایش‌ها میزان نیروی اعمالی به جسم با توجه به وزن و ارتفاع سقوط وزنه یا چکش‌های مربوطه، با عنوان انرژی شکست محاسبه می‌شود [۱۸]. به این دسته از آزمایش‌های، آزمایش‌های شبیه استاتیک گفته می‌شود. از دیگر روش‌های کاربردی در این زمینه آزمایش‌های بارگذاری ملایم بر خرد ذرات مجزا است. تفاوت این آزمایش با سایر آزمایش‌ها قابلیت کنترل میزان میزان کرنش اعمالی به خرد ذرات آزمایشی است. تاکنون دستگاه‌های مختلف، از دستگاه‌های بارگذاری بر ذراتی با قطر بیش از نیم متر [۳۰] گرفته تا دستگاه‌های نانو نشان‌گذار که برای بارگذاری بر خرد ذرات مجزا به قطر چند میکرون [۳۱]، در زمینه بارگذاری بر خرد ذرات مجزا و با اهداف مختلف استفاده شده است.



شکل ۴. نمودار توزیع مقاومت فشاری تکمحوری که پراکنده‌گی یا اختلاف مقادیر به دست آمده از آزمایش فشاری تکمحوری بر نمونه‌های مختلف را نشان می‌دهد.

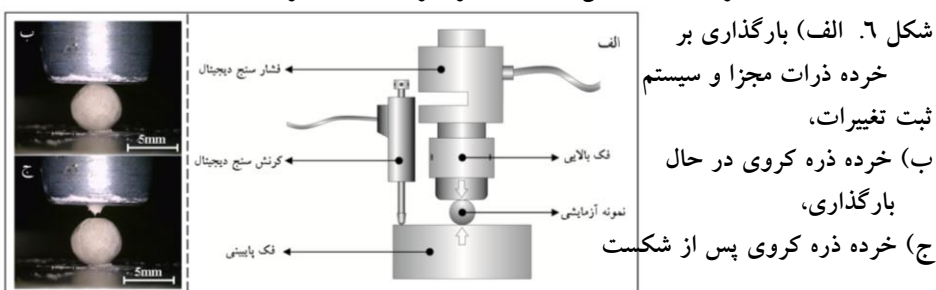
سیستم اعمال بار در دستگاه بارگذاری بر خرد ذرات مجزا به کار گرفته شده در این مقاله به گونه‌ای طراحی شده که فک‌های بارگذاری با سرعتی معادل  $0.25\text{ m/s}$  تا  $1\text{ m/s}$  در ساعت به هم نزدیک شوند و با میزانی یکنواخت، معادل  $77\text{ N/m}$  در ثانیه به نمونه‌ای صلب نیرو اعمال نمایند. بنا بر این دستگاه مورد نظر از نوع کرنش کنترل بوده و بارگذاری مربوطه از نوع استاتیک است. به منظور اندازه‌گیری جایه‌جایی در روند آزمایش از کرنش سنج دیجیتال با دقت  $1\text{ \mu m}$  و برای اندازه‌گیری میزان نیروی اعمالی از نیروسنج دیجیتال با دقت  $100\text{ g}$

استفاده شده است. تکرارپذیری دستگاه مربوطه با آزمایش بارگذاری بر ذرات مختلف و با استفاده از روش تخمین تعداد نمونه‌ها مورد ارزیابی قرار گرفته است [۱]. در شکل ۵ نمایی از دستگاه بارگذاری به کار رفته برای بارگذاری استاتیک برعده ذرات مجزا نشان داده شده است [۱].

نام قطعه	شماره قطعه
جعبه سیستم محرك	۱
اهرم محرك دستي	۲
شفت اتصال حلزونی	۳
فك پایینی	۴
فك بالایی	۵
کرنش سنج	۶
بسته‌های اتصالی	۷
گیج جابجایی	۸
نیرو سنج	۹
بازوی اتصال نیرو سنج	۱۰
بیچ اتصال قاب نگهدارنده	۱۱
قاب نگهدارنده	۱۲
سترنک‌های عصودی چهارچوب	۱۳

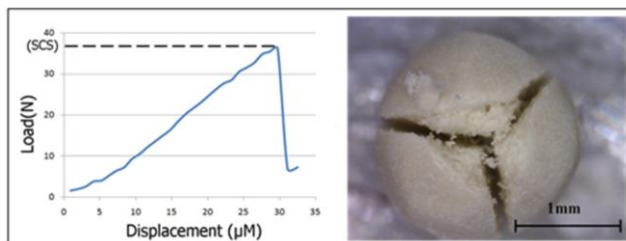
شکل ۵. دستگاه بارگذاری بر خرد ذرات مجزا و اجزای مربوط [۱].

در آزمایش بارگذاری بر خرد ذرات مجزا، دو سطح کاملاً صاف، صیقلی و موازی به گونه‌ای به خرد ذره مورد نظر بار اعمال می‌کنند که فرستت کافی برای ثبت تغییرات روی داده در نمونه آزمایشی تا لحظه شکست وجود داشته باشد. آزمایش بارگذاری تا لحظه شکست خرد ذرات مجزا ادامه داشته و تغییرات اعمالی با استفاده از نیرو سنج و کرنش سنج مربوط ثبت می‌شود. به منظور بررسی عینی رفتار ذرات تحت اعمال بار، با استفاده از دوربین نصب شده بر روی دستگاه از نمونه‌های مربوطه تصویربرداری به عمل آمده است. در شکل ۶ نحوه اعمال بار و ثبت تغییرات در آزمایش بارگذاری بر خرد ذرات مجزا نشان داده شده است.



شکل ۶. الف) بارگذاری بر خرد ذرات مجزا و سیستم ثبت تغییرات،  
ب) خرد ذره کروی در حال بارگذاری،  
ج) خرد ذره کروی پس از شکست

در شکل ۷ نمودار رفتاری شاخص خرد ذرات مجرا و الگوی شکست غالب در آنها نشان داده شده است [۱]. رفتار مکانیکی خرد ذرات آزمایش شده شبیه به حالت الاستیک خطی بوده و مقاومت نهایی آنها به عنوان مقاومت فشاری تک ذره<sup>۱</sup> (SCS) معرفی شده است [۱]. میانگین مقادیر به دست آمده از ۴۲۰ آزمایش بارگذاری بر خرد ذرات مجرا در قطرهای مختلف و الگوی شکست غالب در مورد هر نمونه در جدول ۳ ارائه شده است. با توجه به جدول ۳، بیشترین و کمترین مقادیر SCS به ترتیب مربوط به نمونه های ۲ و ۷ است.

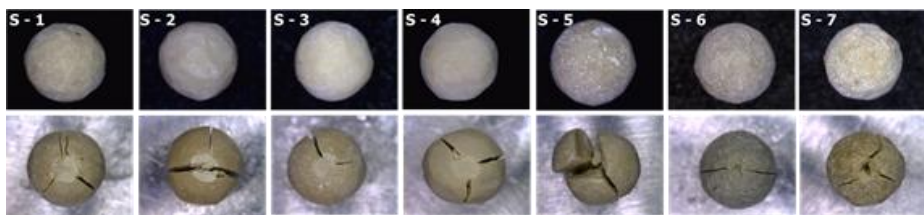


شکل ۷. نمودار نیرو جابه جایی خرد ذرات سنگ آهک های میکرایتی در آزمایش بارگذاری و تصویر خرد ذره پس از آزمایش بارگذاری

جدول ۳. نتایج حاصل از آزمایش های بارگذاری بر ۴۲۰ نمونه از خرد ذرات مجرا

الگوی شکست	SCS (N)			شماره نمونه
	D=2mm	D=3mm	D=4mm	
سه بخشی	۸۹/۵۰	۱۹۶/۴۰	۳۴۸/۸۰	S - 1
سه بخشی	۱۰۸/۴۰	۲۵۹/۱۰	۴۳۰/۵۰	S - 2
سه بخشی	۷۹	۱۸۳	۲۴۸/۵۰	S - 3
سه بخشی	۴۷/۴۰	۹۱/۴۰	۱۷۷/۲۰	S - 4
سه بخشی	۸۵	۱۷۹/۸۰	۳۲۹/۴۰	S - 5
دو بخشی	۳۰	۵۰/۵۰	۹۱/۸۰	S - 6
سه بخشی	۱۹/۱۰	۴۴/۷۰	۵۹/۶۰	S - 7

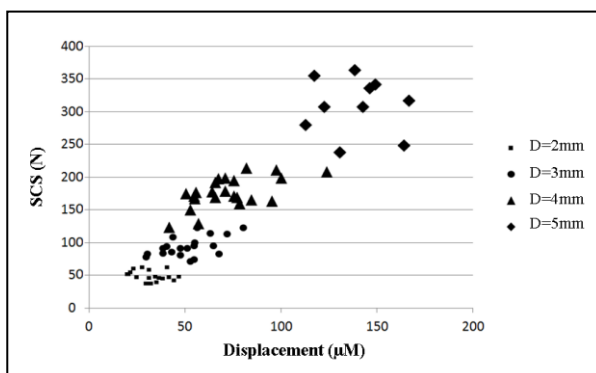
از نمونه های مربوطه قبل و بعد از آزمایش تصویربرداری به عمل آمده و نوع شکست در مورد نمونه های مختلف بررسی شده است. در شکل ۸ خرد ذرات آزمایش شده قبل و بعد از بارگذاری نشان داده شده است. سه الگوی شکست ۲، ۳ و ۴ بخشی در نمونه های آزمایشی مشاهده و مشخص شده اکثر نمونه ها دارای الگوی شکست سه وجهی هستند [۱].



شکل ۸. ذرات اصلاح شده ۴ میلی‌متری قبل و بعد از آزمایش بارگذاری بر خرد ذرات مجزا چنان‌که مشاهده می‌شود الگوی شکست خرد ذرات آزمایش شده بیش‌تر از نوع سه بخشی است.

### تحلیل و تفسیر نتایج حاصل از آزمایش

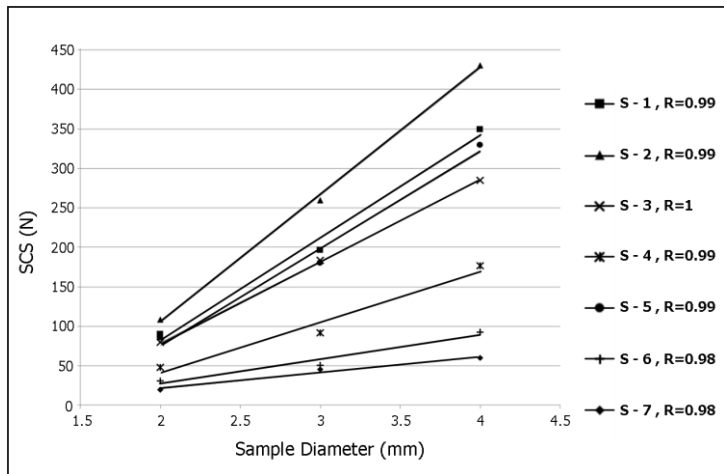
نمودار تغییرات شاخص SCS و جابه‌جایی ثبت شده تا لحظه شکست در آزمایش بارگذاری بر خرد ذرات تهیه شده از نمونه‌های S-4 در چهار اندازه مختلف، در شکل ۹ نشان داده شده است. چنان‌که مشاهده می‌شود، با کاهش قطر خرد ذرات علاوه بر کاهش مقاومت، میزان جابه‌جایی ثبت شده تا لحظه شکست نیز کاهش یافته است. کاهش قطر ذرات منجر به کاهش اتصال واحدهای کائیایی در خرد ذرات شده، نمونه‌های مورد نظر در کرنش‌های کم‌تری به گسیختگی می‌رسند. شکل ۹ روند خطی افزایش میزان تغییر شکل و مقاومت ذرات به‌ازای افزایش قطر آنها را نشان می‌دهد.



شکل ۹. نمودار شاخص SCS و جابه‌جایی ثبت شده تا لحظه شکست، مربوط به ۴ قطر مختلف از نمونه S-4

در شکل ۱۰ رابطه میزان شاخص SCS با قطر ذرات در مورد هر هفت نمونه آزمایش شده نشان داده شده است. هر نقطه مشخص شده در این شکل مؤید میانگین SCS مربوط به ۲۰

خرده ذره با قطری مشخص است. با توجه به شکل مشاهده می‌شود که شاخص مربوط در مورد تمام نمونه‌ها با قطر ذرات رابطه مستقیم دارد و بهازای افزایش قطر ذرات افزایش می‌یابد. ضرایب همبستگی ایجاد شده بین این دو پارامتر در حالت خطی بیش از ۹۸٪ است.



شکل ۱۰. همبستگی خطی برقرار شده بین قطر ذرات آزمایش شده و مقادیر SCS بدست آمده بنا بر این می‌توان مقدار شاخص SCS ذرات در قطرهای مختلف را با استفاده از رابطه ۱ محاسبه کرد:

$$SCS = ID - \Delta \quad (1)$$

قطر ذرات آزمایش شده،  $I$  و  $\Delta$  بدلیل ارتباط مستقیم با مقاومت خرد ذرات مجرا به عنوان متغیرهای مقاومتی خرد ذرات مجرا آزمایش شده معرفی شده‌اند.

با توجه به همبستگی‌های برقرار شده بین مقادیر SCS بدست آمده از آزمایش بارگذاری بر خرد ذرات مجرا در اندازه‌های مختلف، بیشترین و کمترین عرض از مبدأ ( $\Delta$ ) و شیب خطوط برآش داده شده ( $I$ ) به ترتیب مربوط به مقاومت‌ترین (S-2) و کم‌مقاومت‌ترین نمونه آزمایش شده (S-7) است. بنا بر این می‌توان نتیجه گرفت برای ۷ نمونه سنگ آهک میکرایتی آزمایش شده به‌ازای افزایش مقادیر SCS، متغیرهای  $I$  و  $\Delta$  نیز افزایش یافته‌اند. به منظور حذف پارامتر قطر ذرات ( $D$ ) از رابطه ۱، مقادیر  $I$  و  $\Delta$  برای هر کدام از نمونه‌ها با توجه به

شکل ۱۰ تعیین شده است. نمودار تغییرات  $I$  و  $\Delta$  به ازای مقادیر SCS برای خردۀ ذرات با قطرهای مختلف مربوط به هر نمونه در شکل ۱۱ ترسیم شده است. با توجه به این شکل‌ها می‌توان روابط ۲ و ۳ را بین هر کدام از متغیرهای مقاومتی و مقاومت خردۀ ذرات ارائه کرد. کاهش شیب خطوط برازش داده شده در شکل به طور مستقیم به قطر ذرات آزمایش شده مربوط است و با افزایش قطر ذرات، شیب خطوط کاهش یافته است.

$$I = \alpha_i SCS - \beta_i \quad (2)$$

$$\Delta = \alpha_\Delta SCS - \beta_\Delta \quad (3)$$

$\alpha$  و  $\beta$  در روابط ۲ و ۳ به ترتیب معادل شیب و عرض از مبدأ خطوط برازش داده شده هستند و به دلیل ارتباط مستقیم با قطر ذرات، به عنوان متغیرهای اندازه ذره معرفی شده‌اند.

روابط ۴، ۵، ۶ و ۷ از همبستگی بین متغیرهای اندازه ( $\alpha$  و  $\beta$ ) و قطر خردۀ ذرات مجزا آزمایش شده ( $D$ ) به دست آمده‌اند. با استفاده از این روابط می‌توان متغیرهای اندازه مربوط به ذرات مجزا در قطرهای مختلف را محاسبه کرد.

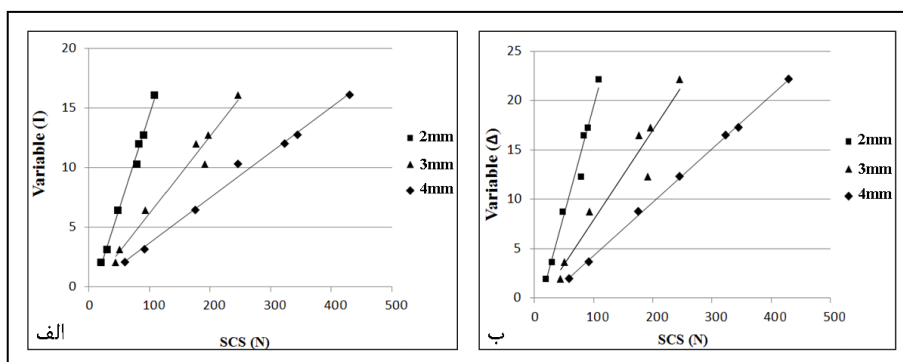
$$\alpha_i = 7/61 D^{-2/06} \quad (4)$$

$$\beta_i = 4/94 D^{-2/08} \quad (5)$$

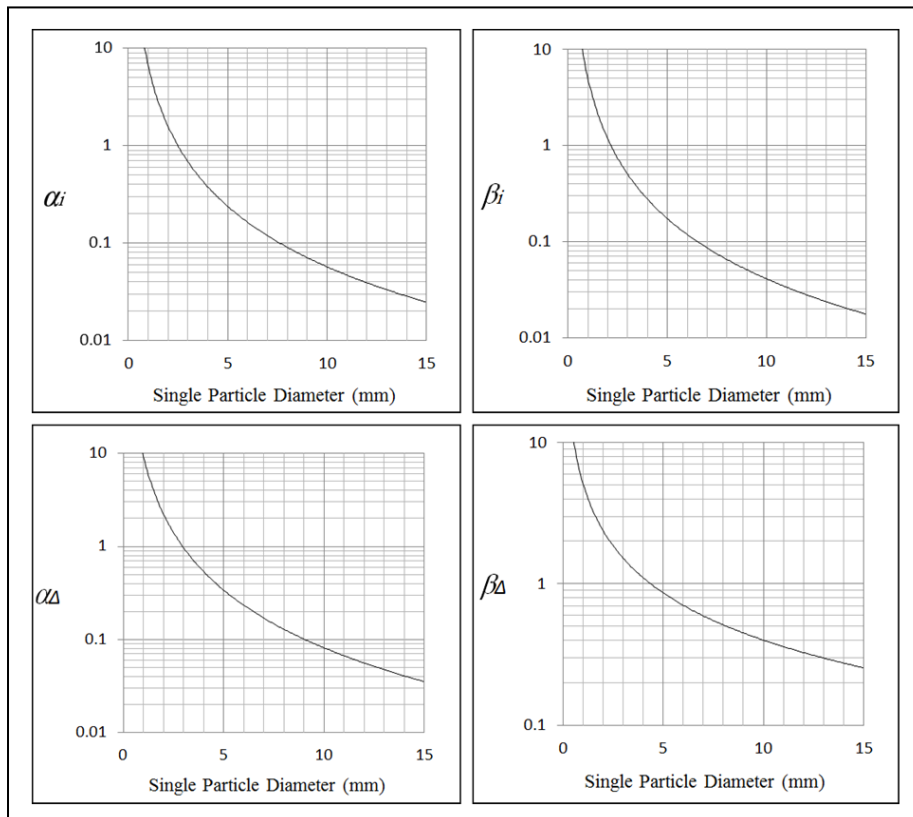
$$\alpha_\Delta = 9/42 D^{-2/06} \quad (6)$$

$$\beta_\Delta = 5/18 D^{-1/11} \quad (7)$$

به منظور سهولت در محاسبات، روابط برقرار شده در قالب منحنی‌های نیمه لگاریتمی در شکل ۱۲ ارائه شده است. با استفاده از منحنی‌های ارائه شده می‌توان مقادیر SCS اندازه‌گیری شده از آزمایش بر خردۀ ذرات در اندازه‌های مختلف را به SCS معیار مربوط به خردۀ ذرات مجزا مربوط به قطرهای آزمایش شده (۲، ۳ و ۴ میلی‌متر) تبدیل ساخت. به عبارت دیگر می‌توان اثر اندازه خردۀ ذرات مجزا را حذف کرد و با آزمایش بر ذرات کروی در هر قطربی، شاخص UCS را با استفاده از شاخص SCS به دست آمده، محاسبه کرد.

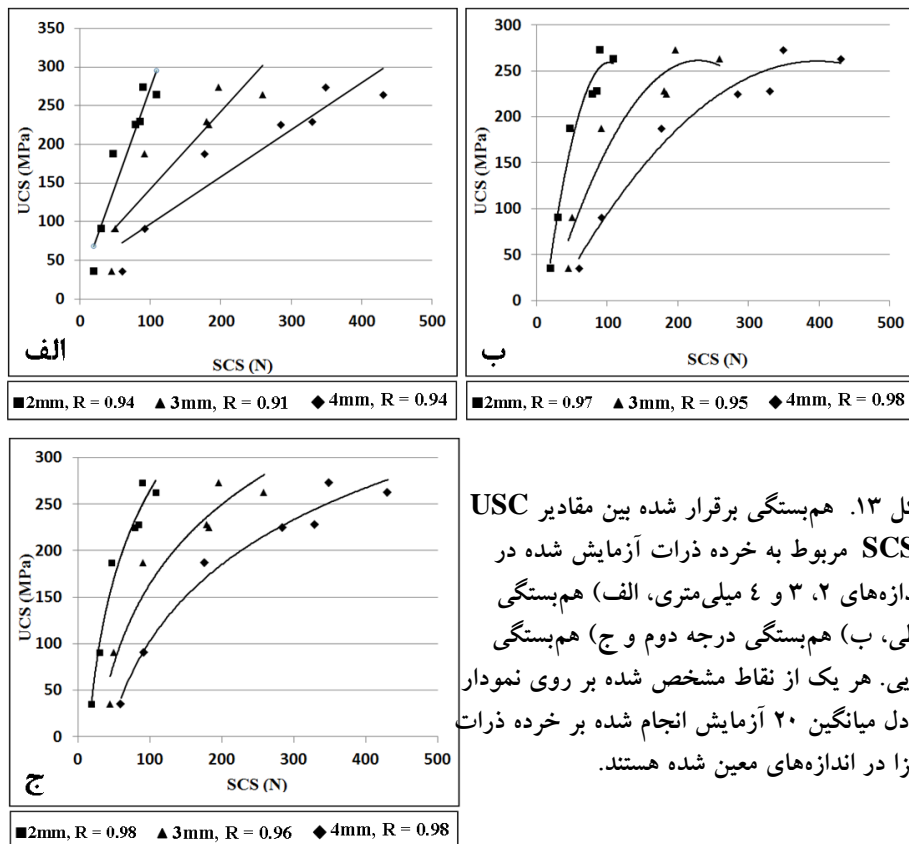


شکل ۱۱



شکل ۱۲. منحنی‌های پیشنهادی بهمنظور حذف اثر قطر ذرات کروی که از رابطه برقرار شده بین متغیرهای اندازه و اندازه خرد ذرات مجزا به دست آمده‌اند.

به منظور برقراری ارتباط بین مقاومت فشاری تک محوری و مقاومت خردہ ذرات مجزا، با سه روش مختلف بین مقادیر UCS و SCS همبستگی برقرار شده است. نتایج مربوط به همبستگی بین مقادیر USC و SCS در شکل ۱۳ نشان داده شده است. چنان‌که در شکل مشاهده می‌شود، بالاترین ضرایب، مربوط به همبستگی نمایی است و در حالت کلی بیشترین ضرایب همبستگی به ترتیب مربوط به نمونه‌های ۴، ۲ و ۳ میلی‌متری و در تمامی موارد دارای مقادیر قابل قبولی هستند.



شکل ۱۳. همبستگی برقرار شده بین مقادیر USC و SCS مربوط به خردہ ذرات آزمایش شده در اندازه‌های ۲، ۳ و ۴ میلی‌متری، (الف) همبستگی خطی، (ب) همبستگی درجه دوم و (ج) همبستگی نمایی. هر یک از نقاط مشخص شده بر روی نمودار معادل میانگین ۲۰ آزمایش انجام شده بر خردہ ذرات مجزا در اندازه‌های معین شده هستند.

با توجه به نمودارهای ارائه شده در شکل ۱۳ در هر سه نوع همبستگی مشاهده می‌شود که بهازای افزایش اندازه خرد ذرات آزمایش شده شبیب نمودار مربوط کاهش یافته است. کاهش شبیب نمودارها بهدلیل افزایش مقاومت خرد ذرات بهازای افزایش قطر ذرات یا به عبارت دیگر همان اثر اندازه خرد ذرات آزمایش شده است. بنا بر این بهازای هر اندازه، یک رابطه تجربی برای تعیین مقاومت فشاری تکمحوری با استفاده از نتایج آزمایش بارگذاری بر خرد ذرات مجزا بدست آمده است. با توجه به این که همبستگی‌های مربوط با استفاده از سه روش مختلف برقرار شده است، بنا بر این<sup>۴</sup> رابطه تجربی بدست آمده که در جدول ۴ ارائه شده است.

جدول ۴.

	قطر نمونه	خط	درجه دوم	نمایه
۲	$UCS = ۲/۵۴ (SCS) +$	$UCS = -۰/۰۳۰ (SCS)^۲ + ۷/۴۴$	$UCS = ۱۳۷/۳۳ \ln(SCS) -$	
۳	$UCS = ۱/۰۰۲$	$UCS = -۰/۰۰۶ (SCS)^۲ + ۲/۶۵$	$UCS = ۱۲۳/۲۰ \ln(SCS) -$	
۴	$UCS = ۰/۶۱ (SCS) +$	$UCS = -۰/۰۰۲ (SCS)^۲ + ۱/۴۹$	$UCS = ۱۱۸/۷۰ \ln(SCS) -$	

#### ارزیابی صحت نتایج به دست آمده

به منظور ارزیابی صحت روابط تجربی پیشنهاد شده و منحنی‌های مربوط به حذف اثر اندازه، ۱۰ خرد ذره با قطر یک میلی‌متر از نمونه‌های S-2 و S-۱۰ خرد ذره با قطر ۵ میلی‌متر از نمونه ۴-S انتخاب شده است. پس از آزمایش بارگذاری بر خرد ذرات مجزا، با توجه به قطر ذرات آزمایش شده ابتدا با استفاده از منحنی‌های پیشنهادی (شکل ۱۲)، متغیرهای اندازه محاسبه شده‌اند. مقادیر بدست آمده از منحنی‌های پیشنهادی مربوط به خرد ذرات ۱ و ۵ میلی‌متری در جدول ۵ ارائه شده است.

جدول ۵. متغیرهای اندازه مربوط به ذرات ۱ و ۵ میلی‌متری که با استفاده از منحنی‌های پیشنهادی

محاسبه شده‌اند

	متغیرهای اندازه	میانگین					
		قطر ذرات	شماره نمونه	$a_i$	$B_i$	$a_\Delta$	$B_\Delta$
S-2	۱	۲۳/۳۳	۶/۶۱	۴/۹۴	۹/۴۲	۵/۱۸	
S-4	۵	۳۰/۸/۹۵	۰/۲۳	۰/۱۷	۰/۳۴	۰/۸۶	

پس از محاسبه متغیرهای اندازه، با استفاده از روابط ۲ و ۳ متغیرهای مقاومتی محاسبه شده است. با استفاده از رابطه ۱ و متغیرهای مقاومتی می‌توان مقدار SCS مربوط به خرد ذرات در قطرهای آزمایش شده (۲، ۳ و ۴ میلی‌متر) را محاسبه کرد. نتایج مربوط به آزمایش‌های متغیرهای مقاومتی و مقادیر SCS محاسبه شده در جدول ۶ ارائه شده است.

**جدول ۶. مقادیر میانگین SCS و پارامترهای مقاومتی محاسبه شده و پارامترهای آماری مربوطه**

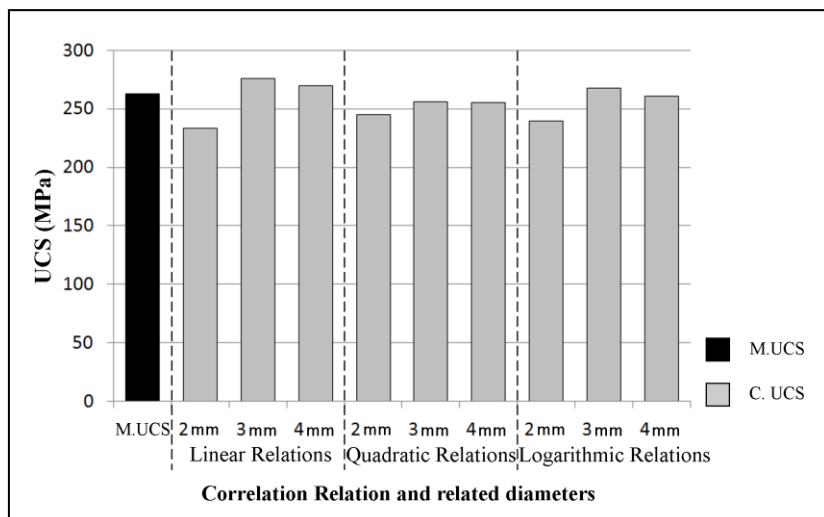
شماره نمونه	میانگین مربوطه شده (N)		
	I	$\Delta$	D = 2 mm D = 3 mm D = 4 mm
S - 2	۱۴۹/۴۳	۲۱۴/۶۹	۸۴/۱۷ ۲۳۳/۶۱ ۳۸۳/۰۴
S - 4	۷۳/۵۹	۱۰۴/۱۹	۴۲/۹۹ ۱۱۶/۵۷ ۱۹۰/۱۰

پس از تبدیل مقادیر SCS اندازه‌گیری شده در مورد ذرات ۱ و ۵ میلی‌متری به مقادیر SCS محاسبه شده در اندازه‌های ۲، ۳ و ۴ میلی‌متری با استفاده از رابطه ۱، مقادیر محاسبه شده در روابط به دست آمده از همبستگی‌های برقرار شده بین شاخص‌های UCS و SCS قرار داده شده و مقادیر UCS مربوط محاسبه شده است. نتایج نهایی محاسبات انجام شده در جدول ۷ ارائه شده است.

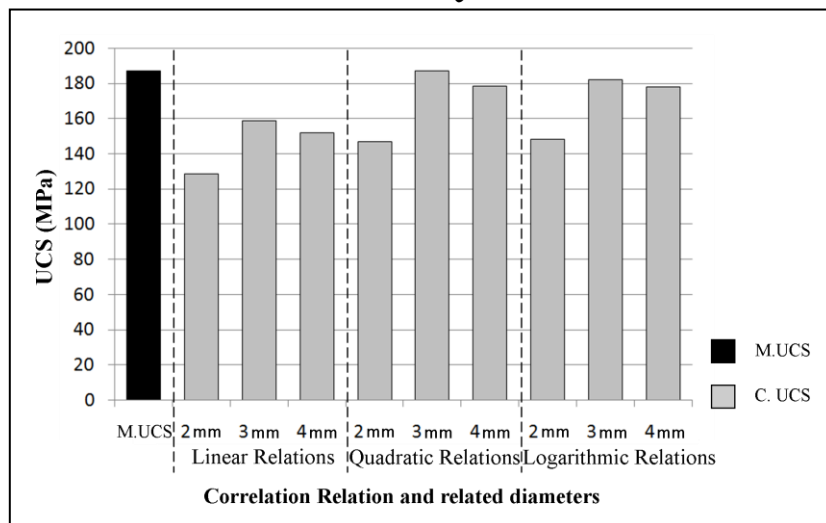
**جدول ۷. مقادیر میانگین USC محاسبه شده با استفاده از روابط به دست آمده از همبستگی‌های مختلف و پارامترهای آماری مربوطه**

شماره نمونه	میانگین USC(MPa) محاسبه شده									
	همبستگی خطی			همبستگی درجه ۲			همبستگی نمایی			
	D=2mm	D=3mm	D=4mm	D=2mm	D=3mm	D=4mm	D=2mm	D=3mm	D=4mm	
S - 2	۲۳۳/۵۴	۲۷۹/۲۵	۲۶۹/۴۸	۲۴۴/۹۰	۲۵۵/۸۱	۲۵۵/۲۶	۲۳۹/۹۱	۲۶۷/۶۷	۲۶۱/۱۶	
S - 4	۱۲۸/۸۲	۱۵۸/۹۹	۱۵۲/۱۵	۱۴۷/۱۴	۱۸۷/۱۱	۱۷۸/۴۹	۱۴۸/۲۸	۱۸۱/۹۷	۱۷۷/۹۶	

مقایسه میانگین مقادیر UCS محاسبه شده و اندازه‌گیری شده مربوط به نمونه‌های S - 2 و S - 4 در شکل‌های ۱۴ و ۱۵ نشان داده شده است. با توجه به نمودارهای مربوط مقادیر UCS محاسبه شده مربوط به نمونه‌های ۲ - S و ۴ - S به ترتیب به طور متوسط ۹۵/۳۲ و ۸۶/۶۴٪ با مقادیر اندازه‌گیری شده مشابهت دارند.



شکل ۱۴. نمودار مقایسه مقادیر USC اندازه‌گیری شده (M.UCS) و محاسبه شده (C.UCS) با استفاده از روابط به دست آمده در قطرهای مختلف مربوط به خرده ذرات مجرا ۱ میلی‌متری از نمونه S - 2



شکل ۱۵. نمودار مقایسه مقادیر USC اندازه‌گیری شده (M.UCS) و محاسبه شده (C.UCS) با استفاده از روابط به دست آمده در قطرهای مختلف مربوط به خرده ذرات مجرا ۵ میلی‌متری از نمونه S - 4

### نتیجه‌گیری

استفاده از روش‌های غیرمستقیم برای تعیین مقاومت تکمحوری سنگ در مواردی که امکان تهیه نمونه مناسب وجود ندارد، جایگزینی مناسب برای آزمایش‌های آزمایشگاهی متداول در رابطه با ارزیابی مقاومت فشاری تکمحوره سنگ در شرایط عدم دسترسی به مغزه‌های حفاری است. تعیین مقاومت خردۀ ذرات حاصل از حفاری و برقراری رابطه تجربی بین آن‌ها و مقاومت تکمحوری روشی است که در این مقاله بررسی شده است. نتایج به دست آمده از آزمایش‌های انجام شده بر روی ۴۲۰ خردۀ حفاری از ۷ نمونه سنگ آهک میکرایتی مربوط به رخ‌نمونه‌های سازند آسماری نشان‌دهنده همبستگی خوب بین نتایج مقاومت خردۀ ذرات و مقاومت تکمحوری است. به طوری که روابط تجربی پیشنهاد شده حاصل از همبستگی بین UCS و SCS دارای ضریب همبستگی بیشتر از ۰/۹۱ است. آزمایش‌های انجام شده بر روی نمونه‌های مختلف با شکل‌های یکسان و قطرهای متفاوت، نشان داد که با افزایش قطر ذرات مقاومت آن‌ها افزایش می‌یابد. رابطه بین مقاومت خردۀ ذرات و قطر آن‌ها در محدوده قطرهای بررسی شده از نوع خطی است. با معرفی پارامترهای مربوط به اندازه‌دانه‌ها، روابط و منحنی‌هایی پیشنهاد شده که با استفاده از آن‌ها امکان حذف اثر قطر دانه در تعیین مقاومت خردۀ ذرات وجود دارد. به منظور اعتبارسنجی روابط تجربی بین SCS و UCS و منحنی‌هایی ارائه شده است. برای حذف اثر قطر ذرات، آزمایش بر روی خردۀ ذرات کروی شکل به قطر ۱ و ۵ میلی‌متر انجام شده است. مقاومت تکمحوری محاسبه شده با استفاده از روش پیشنهادی در این مقاله برای نمونه‌های ۱ و ۵ میلی‌متری به ترتیب ۹۵/۳۲ و ۸۶/۶۴ درصد با مقاومت تکمحوری اندازه‌گیری شده انطباق دارد. این اعتبارسنجی نشان می‌دهد روابط تجربی و روش پیشنهادی برای حذف اثر اندازه خردۀ ذرات دارای دقت لازم برای تعیین مقاومت تکمحوری سنگ است. به منظور افزایش دقت در محاسبات انجام شده پیشنهاد می‌شود، از مقادیر میانگین به دست آمده از روابط مربوط به هر سه نوع همبستگی استفاده شود.

### تشکر و قدردانی

بدین وسیله از صندوق حمایت از پژوهشگران و فناوران کشور که در تأمین منابع مالی لازم برای این پژوهش همکاری کرده‌اند صمیمانه تشکر و قدردانی می‌شود.

### منابع

۱. احمدی ششده، الف. چشمی، الف. قلندرزاده، ع. طراحی و ساخت دستگاه بارگذاری بر خرد ذرات مجزا و بررسی تکرارپذیری نتایج به دست آمده از آن. هفتمین کنفرانس زمین‌شناسی مهندسی و محیط زیست ایران، دانشگاه صنعتی شهرورد (۱۳۹۰).
2. Jaramillo R. A., "Estudio geomecánico estadístico de la estabilidad durante la perforación de pozos en el Piedemonte Llanero, campo Recetor", Tesis profesional Fac. Minas., Universidad Nacional de Colombia, Medellín, Colombia (2004) (in Colombian).
3. American Society for Testing and Materials, "Standard test method for unconfined compressive strength of intact rock core specimens, Soil and Rock, Building Stones", Annual Book of ASTM Standards 04, 08, Philadelphia, Pennsylvania (1984).
4. Gilvarry J. J., Bergstrom B. H., "Fracture of brittle solids: 1. Distribution function for fragment size in single fracture", J Appl Phys Vol.32 (1961) 400-410.
5. Bergstrom B. H., Sollenberger C. L., "Kinetic energy effect in single particle crushing", Trans, SME, AMIE Vol.220 (1961) 373-379.
6. Bergstrom B. H., Sollenberger C. L., Mitchell W., "Energy aspects of single particle crushing", Trans. SME/AIME Vol.220 (1961) pp. 367-372.

7. Arbiter N., Harris C. C., Stamboltzis G. A., "Single fracture of brittle spheres", Trans, SME/AIME Vol.244 (1969) 118-133
8. Rumpf H., "Physical aspects of comminution and 'New formation of a law of comminution". Powder Technology Vol.7 (1973) 145.
9. Schonert K., "Role fracture physics in understanding comminution phenomena", Trans, SME/AIME Vol.252 (1972) 21-26.
10. Schubert H., "On the microprocesses of comminution", Aufbereit,-Tech., Vol.5 (1987) 237- 246.
11. Yashima S., Saito F., Sagawa T., Suzuki H., Sano S., "Kagaku Kogaku Ronbunshu1" (1975) 344 (in Japanese).
12. Yashima S., Morohashi S., Saito F., "Single Particel Crushing Under Slow Rate of Loading, Scientific Reports of the Research Institute-Tohoku University", No. 1 (1979) 116-133.
13. Yashima S., Saito F., Mikuni T., "Effect of environmental water on single- particle crushing, Kagaku Kogaku Ronbunshu", Powder Technology Vol.2 (1976) 150-153.
14. Yashima S., Kanda Y., Sano S., "Relationship Between Particle Size and Fracture Energy or Impact Velocity Required to Fracture, as Estimated from Single Particle Crushing", Powder Technology Vol.51 (1987) 277-282.
15. Dan C. C., Schubert H., "Breakage probability, progeny size distribution and energy utilization of comminution by impact", Aufbereit, Tech Vol. 31 (1990) 241-247.

16. Awachie S. E. A., "Development of crusher models using laboratory particle breakage data", Ph. D. thesis, University of Queensland, Brisbane (1983).
17. Tavares, L.M., "Energy absorbed in breakage of single particles in drop weight testing", Miner. Eng. Vol.12 (1999).
18. Tavares L. M., King R. P., "Single-particle fracture under impact loading", Int. J. Miner. Process, Vol.541 (1998) 1-28.
19. Piret E. L., "Fundamental aspects of grinding", Chem. Eng. Prog, Vol.49 (1953) 56-63.
20. Narayanan S. S., Whiten W. J., "Breakage Characteristics for Ores for Ball Mill Modeling Proc". Australia's Inst, Min. Metall, (3rd Edn.) No. 286 (1983).
21. Krogh S. R., "Crushing characteristics", Powder Technology Vol.27 (1980) 171-181.
22. Napier-Munn T. J., Morrell S., Morrison R. D., Kojovic T., "Mineral Comminution Circuits: Their Operation and Optimization", University of Queensland, Brisbane (1996).
23. Barnard W. J., Bull F. A., "Primary breakage of brittle particles", Fourth Tewksbury Symposium University of Melbourne, Melbourne (1979) 1-20.
24. Sikong L., Hashimoto H., Yashima S., "Breakage behavior of fine particles of brittle minerals and coals", Powder Technology Vol.61 (1990) 51-57.

25. Denis E. Gill, Robert Corthe'sy, Maria Helena Leite, "Determining the minimal number of specimens for laboratory testing of rock properties", *Engineering Geology* Vol.78 (2005) 29-51.
26. Krumbein W. C., Sloss L. L., "Stratigraphy and Sedimentation", W. H. Freeman, San Francisco, CA (1963).
27. Bieniawski Z. T., "Engineering classification of jointed rock masses". *Trans S Afr Inst Civ. Eng.* Vol.15 (1973) 335-344.
28. Deere D. U., Miller R. P., "Engineering classification and index properties of intact rock", *Air Force Lab Tech Rep AFNLTR-65-116* Albuquerque NM (1966).
29. Cleaver J. A. S., Ghadiri M., Rolfe, N., "Impact Attrition of Sodium Carbonate Monohydrate Crystals", *Powder Technology* Vol.76 (1993) 15-22.
30. Unland G., Szczelina P., "Coarse crushing of brittle rocks by compression", *International Journal of Mineral Processing* Vol.74 (2004) 209-217.
31. Sikong L., Hashimoto H., Yashima S., "Breakage behavior of fine particles of brittle minerals and coals". *Powder Technology* Vol.61 (1990) 51-57.